

СТРУКТУРНОЕ СОСТОЯНИЕ И ГЕНЕЗИС АДУЛЯРА ИЗ ТУФОИГНИМБРИТОВ СОКИРНИЦКОГО МЕСТОРОЖДЕНИЯ ЦЕОЛИТОВ (ЗАКАРПАТЬЕ, УКРАИНА)

Слабоцеолитизированные туфоигнимбриты риолит-дацит-андезитового состава на территории Закарпатья представлены вулканическими образованиями, которые относят к нижнему тортону неогена. Они слагают нижнюю часть Сокирницкого месторождения породообразующих цеолитов и состоят преимущественно из обломков кварца, плагиоклаза и бесцветного стекла (С-1). Темно-цветная (светло-желтая и желто-зеленая) фельзитовая основная масса представлена микрокристаллическим агрегатом плагиоклаза, кварца и биотита, сцепленным изотропным веществом (стеклом С-2). Магматогенными минералами туфоигнимбритов являются фенокристаллы плагиоклаза (олигоклаз № 28—34 и андезин № 40—42), кварц, санидин, биотит, тридимит, кальцит и акцессорные минералы в виде сростков циркона и апатита [1].

Адуляр — самый распространенный вторичный минерал туфоигнимбритов Сокирницкого месторождения. Идиоморфные кристаллы (менее 0,05 мм) и микродрузы адуляра растут в порах породы (рис. 1) или метасоматически замещают стекло (рис. 2, а).

Как показывают растровые электронно-микроскопические снимки, габитус адуляра определяется простыми формами {110}, {001}, {101} и {100} [1]. В результате микроскопических исследований установлены три морфологических типа адуляра, различающихся морфологией и структурной Si-Al упорядоченностью.

1 тип — Ad-1. Представлен идиоморфными кристаллами адуляра с габитусом {110} + {110}, растущими на границе стекло С-1 и стекло С-2 (кислого и основного состава, соответственно) (рис. 2, а, б). Он имеет низкую упорядоченность: $2t_1 = 0,61—0,63$, что, возможно, связано с тем, что кристаллы адуляра растут в разупорядоченной твердой фазе — стекле С-1 (рис. 2, а).

2 тип — Ad-2. Щетки кристаллов 1 типа свободно растут в миаролах (рис. 3). Для них отмечается высокая упорядоченность — $2t_1 = 0,69—0,71$, которая характерна для адуляра гидротермального генезиса [2, 3].

3 тип — Ad-3. Это мелкокристаллический адуляр зеленого цвета, образующий шарообразные скопления в фельзитовой массе стекла С-2. На лауэграммах тонкокристал-

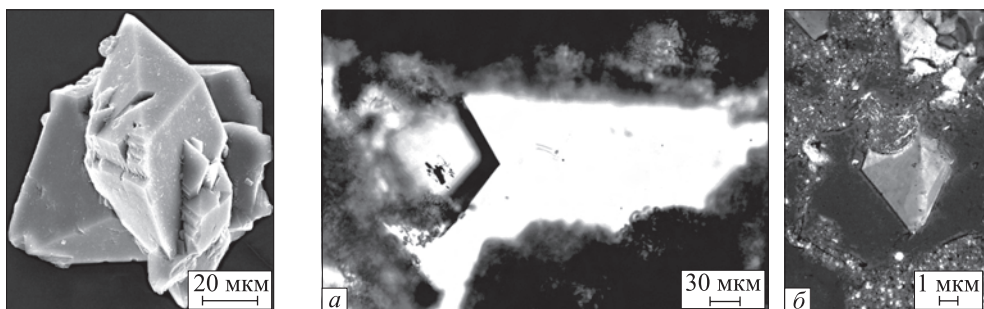


Рис. 1. СЭМ-изображение кристаллов адуляра, растущих в порах породы месторождения Сокирница

Рис. 2. Кристалл адуляра 1 типа (а — на границе стекло С-1 (кислое) и С-2 (основное)); б — растущий в стекле С-1, видна фельзитовая матрица). Туфоингнимбриты месторождения Сокирница (обр. ЗК-79). Ник. ×

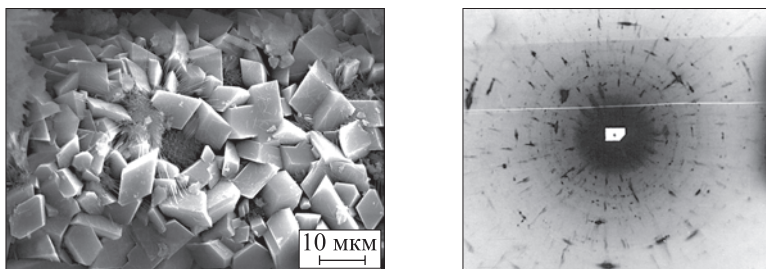


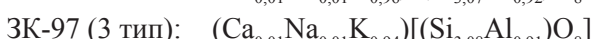
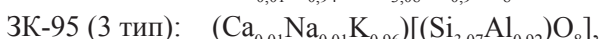
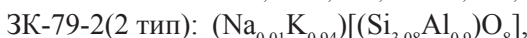
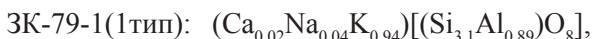
Рис. 3. СЭМ-изображение кристаллов адуляра 2-го типа, растущих в микрополостях

Рис. 4. Лаэграмма адуляра 3-го типа, представленного зернистыми агрегатами зеленого цвета (обр. ЗК-79, месторождение Сокирница)

лических зернистых агрегатов зеленого цвета (Ad-3) наблюдаются дебаевские кольца, что возможно только при размере кристаллитов 0,5—1,0 мкм (рис. 4). Зерна адуляра обладают очень низкой упорядоченностью ($2t_f = 0,55—0,57$), которая может быть результатом метасоматического изменения богатой железом фельзитовой массы.

Результаты общего химического анализа, электронно-зондового микроанализа и структурные характеристики адуляра приведены в таблице.

Кристаллохимические формулы исследуемого адуляра имеют вид



и отвечают чистому калиевому полевому шпату. Триклинная фаза в них отсутствует. Зональность кристаллов оптическими методами не выявлена.

Рентгеновская дифрактометрия показывает моноклинную симметрию полевого шпата, который имеет следующие параметры элементарной ячейки: $a = 0,8592—0,861$ нм; $b = 1,2999—1,304$ нм; $c = 0,7173—0,7191$ нм; $\beta = 115,94^\circ—116,182^\circ$. Эти данные соответствуют параметрам элементарной ячейки высокого санидина (Spenser C) и адуляра (Spencer B) [4], что прекрасно согласуется с их низкой упорядоченностью.

Структурные параметры, упорядоченность и химический состав адуляра Сокирницкого месторождения

| Структурный параметр, компонент | Тип 2 | | | Тип 3 | | | 3К-89/91 | 3К-85/91 | 3К-89/91 | 3К-89/91 |
|---------------------------------|-------------|-------------|-------------|-------------|-------------|-------------|-------------|-------------|-------------|-------------|
| | 3К-79-1 | 3К-79-2 | 3К-95 (1) | 3К-89/91 | 3К-95 (2) | 3К-95/91 | | | | |
| <i>a</i> , нм | 0,8622(1) | 0,8622(3) | 0,8604(1) | 0,8592(1) | 0,8623(1) | 0,8593(1) | 0,8606(1) | 0,8596(3) | 0,8607(1) | 0,8610(1) |
| <i>b</i> , нм | 1,3055(6) | 1,3039(8) | 1,3027(4) | 1,301(10) | 1,3046(7) | 1,3047(9) | 1,3045(8) | 1,2999(3) | 1,303(13) | 1,3039(8) |
| <i>c</i> , нм | 0,7198(1) | 0,7191(1) | 0,7181(1) | 0,7173(1) | 0,7188(1) | 0,7187(1) | 0,7186(1) | 0,7173(1) | 0,7178(1) | 0,7186(1) |
| β , град | 116,16(1) | 115,94 | 116,14 (1) | 116,03 (2) | 116,17 (2) | 116,17 (2) | 116,17 (2) | 116,09 (3) | 116,15 (2) | 116,18 (1) |
| <i>2t₁</i> | 0,62 | 0,60 | 0,55 | 0,57 | 0,53 | 0,55 | 0,54 | 0,58 | 0,59 | 0,57 |
| SiO ₂ | 67,88 * | 66,93 ** | — | — | — | — | 67,03 ** | 66,63 ** | — | — |
| Al ₂ O ₃ | 16,47 | 16,51 | — | — | — | — | 16,77 | 16,79 | — | — |
| TiO ₂ | 0,04 | 0,0 | — | — | — | — | 0,09 | 0,0 | — | — |
| MnO | — | 0,0 | — | — | — | — | 0,0 | 0,02 | — | — |
| MgO | 0,89 | 0,05 | — | — | — | — | 0,0 | 0,01 | — | — |
| FeO | 0,56 | 0,29 | — | — | — | — | 0,03 | 0,01 | — | — |
| K ₂ O | 11,8 | 16,0 | — | — | — | — | 16,02 | 16,34 | — | — |
| Na ₂ O | 0,5 | 0,03 | — | — | — | — | 0,01 | 0,06 | — | — |
| CaO | 0,46 | 0,01 | — | — | — | — | 0,04 | 0,02 | — | — |
| Σ | 98,6 | 99,82 | — | — | — | — | 99,99 | 99,88 | — | — |

* Анализы выполнены в лаборатории отдела геохимии техногенных металлов и аналитической химии ИГМР НАН Украины (аналитик А.В. Ренкас).

** Анализы выполнены в Техническом центре НАН Украины на приборе JXA-8200 (аналитик В.Б. Соболев).

Структурная Si-Al упорядоченность адуляра 1-го и 3-го типов оказалась очень низкой и соответствует высокому санидину [3]. Такие значения структурной упорядоченности не свойственны адуляру. Подобные кристаллы были встречены в эптермальных кварц-адуляровых жилах Хишикари, Япония [2]. По структурному состоянию ($2t_f = 0,60$) такой адуляр соответствует высокому санидину, который содержит триклиновые домены. Для сокирницкого адуляра не характерно наличие в структуре триклиновых доменов.

Возможно, низкую Si-Al упорядоченность адуляр Сокирницкого месторождения унаследовал от богатого калием стекла С-1 (кислое стекло). Кристаллизация адуляра начиналась на границе с фельзитом и дальше продолжалась в направлении стекла С-1 (см. рис. 2, *a*). Степень замещения стекла варьирует от группы маленьких кристаллов на контакте с фельзитом до кристалла, который почти полностью замещает стекло (см. рис. 2, *b*). В полостях происходит свободный рост кристаллов адуляра и образуются хорошо огранённые его кристаллы (см. рис. 3). По результатам исследования включений в адуляре из риолитовых туфов Закарпатья (Квасы), температура его образования равна 240—300 °C [5]. Следовательно, можно предположить, что температура кристаллизации сокирницких адуляров составляла 240—300 °C.

Спектр новообразованных минералов на Сокирницком месторождении разнообразен: адуляр, альбит, анальцим, кальцит — типичные гидротермальные минералы цеолитовой фации. Поскольку биотит и плагиоклаз не изменены, следует предположить, что источником вещества для новообразованных минералов были стекло и фельзит. Гидротермальное изменение испытали и включения пемзы. На состав гидротермального раствора влияли газы, которые выделялись при раскрытии включений. Взаимодействие высокоминерализованных растворов, насыщенных кремнием, алюминием и щелочами с высокой активностью углекислоты, со стеклом привело к метасоматическому образованию вторичных минералов. Адуляр и анальцим замещали кислое стекло (С-1), а кальцит рос в фельзите (С-2). Значительное количество адуляра кристаллизовалось в микропорах из того же гидротермального раствора. Можно допустить, что кристаллизация новообразованных минералов происходила в последовательности адуляр → анальцим → цеолиты.

СПИСОК ЛИТЕРАТУРЫ

1. Мельников В.С., Гречановська О.Є., Дъоменко Д.П. та ін. Мікромінералогія та генезис ігнімбрітів цеолітового родовища Сокирниця (Закарпаття) // Зап. Укр. мінерал. тов. — 2006. — 3. — С. 99—102.
2. Lingdi Z., Jiugao G., Bingguang L., Liyun L. Structural state of adularia from Hishikari, Japan // Chinese Sci. Bull. — 2001. — 46, N 11. — P. 950—955.
3. Ferguson R.B., Ball N.A., Černy P. Structure refinement of an adularian end-member high sanidine from the buck claim pegmatite, Bernic Lake, Manitoba // Canad. Mineralogist. — 1991. — 29. — P. 543—552.
4. Smith J. Feldspars minerals. — Berlin;Heidelberg;New-York: Springer, 1974. — V. 1. — 627 p.; V. 2. — 690 p.
5. Калюжний В.А., Сайко Н.М. До умов формування асоціацій мінералів і вертикальної зональності на Квасівському рудному полі (Закарпаття) // Мінерал. зб. — 1999. — № 49 (1). — С. 23—33.